

基于物理的动画：刚体动力学

Physics-based Animation: Rigid Body Dynamics

星海

光线云

2024/10/11

目录

1 动画与物理仿真

■ 概述

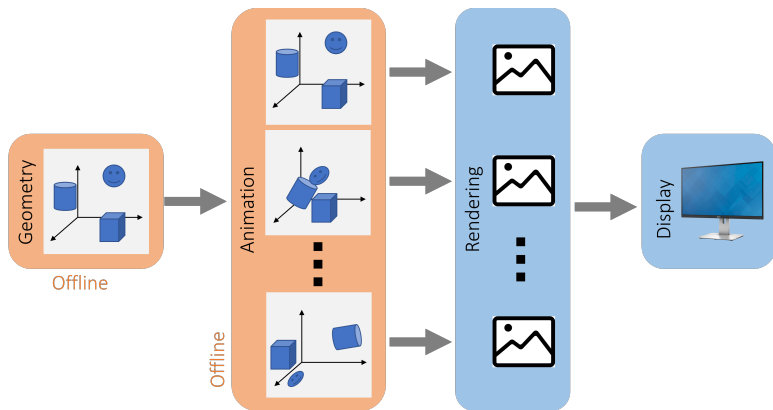
2 刚体动力学

3 刚体动画

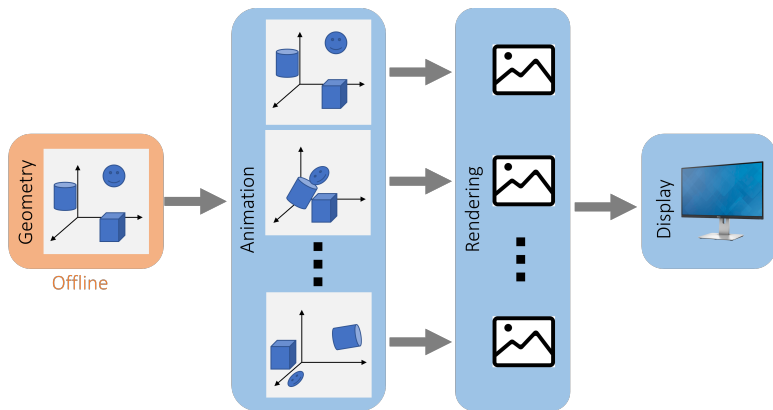
4 质点碰撞处理

5 刚体碰撞检测与处理

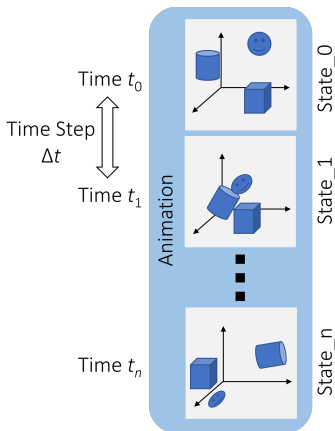
动画流水线 - 基于数据的动画



动画流水线 - 实时物理仿真



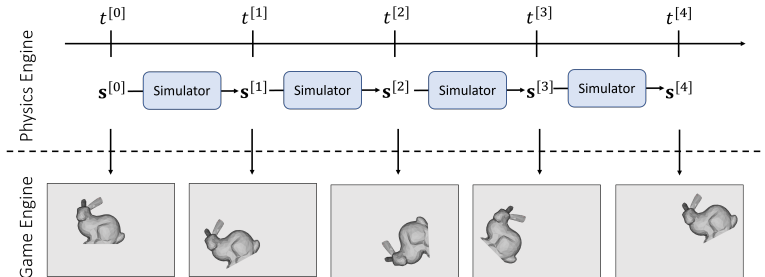
每帧的动画计算



- 动画是每帧对场景物体状态，包括视觉状态和非视觉的状态的更新
- 常见的视觉状态包括
 - 位置
 - 朝向（旋转）
 - 外观
- 常见的非视觉的物理状态包括
 - 外力
 - 速度
 - 密度
 - ...
- 离线动画应用仅需存储视觉状态，物理仿真算法则按需存储其他物理状态

物理仿真流水线

设 $t^{(k)}$ 为第 k 帧的时刻， $\mathbf{s}^{(k)}$ 为仿真对象在第 k 帧时的状态。
仿真器在每一帧执行物理演算，并将结果提交给渲染器。



目录

1 动画与物理仿真

2 刚体动力学

- 预备知识
- 平动动力学
- 转动动力学

3 刚体动画

4 质点碰撞处理

5 刚体碰撞检测与处理

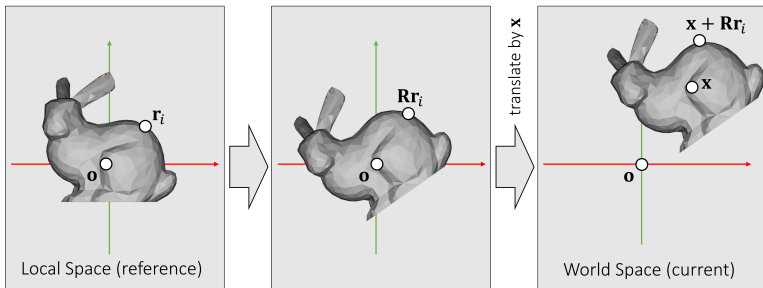
刚体的性质



- 刚体是会产生形状、大小改变的理想物体。只有整体的平动和转动。
- 一般地，物理引擎存储的刚体仿真状态 $s = \{v, x, \omega, q\}$ 是一个四元组，其中 v 为刚体的线速度， x 为位移， ω 为角速度， q 为表示朝向的四元数。
- 记 n 为刚体的顶点数。如果刚体的各顶点质量不一，记顶点 i 的质量为 m_i ，则 $M = (m_1, \dots, m_n)^T$ ，记 $M^{-1} = (1/m_1, \dots, 1/m_n) \in \mathbb{R}^{1 \times n}$ 。此时我们需要让 $f = (f_1, \dots, f_n)^T$ 分别储存各顶点的受力情况。

刚体的运动

刚体整体不缩放，只发生平动 \mathbf{x} (translation) 和转动 \mathbf{R} (rotation) 变换。



7

目录

1 动画与物理仿真

2 刚体动力学

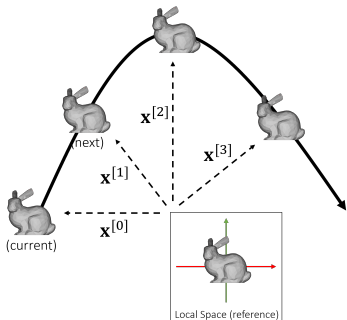
- 预备知识
- 平动动力学
- 转动动力学

3 刚体动画

4 质点碰撞处理

5 刚体碰撞检测与处理

平动动力学



根据牛顿运动定律：

$$\begin{cases} \mathbf{v}(t^{(1)}) = \mathbf{v}(t^{(0)}) + M^{-1} \int_{t^{(0)}}^{t^{(1)}} \mathbf{f}(\mathbf{x}, \mathbf{v}, t) dt \\ \mathbf{x}(t^{(1)}) = \mathbf{x}(t^{(0)}) + \int_{t^{(0)}}^{t^{(1)}} \mathbf{v}(t) dt \end{cases} \quad (1)$$

进行离散半隐式 (semi-implicit) 积分得到

$$\begin{cases} \mathbf{v}^{(1)} = \mathbf{v}^{(0)} + \Delta t M^{-1} \mathbf{f}^{(0)}, \\ \mathbf{x}^{(1)} = \mathbf{x}^{(0)} + \Delta t \mathbf{v}^{(1)} \end{cases} \quad (2)$$

其中 \mathbf{v} 用上一帧的 \mathbf{f} 数据更新，是显式积分， \mathbf{x} 用当前帧的 \mathbf{v} 数据更新，是隐式积分。可以证明，如此更新的 \mathbf{x} 相对完全显式法和完全隐式法是二阶精确的。

刚体仿真-仅平动

仿真流程：

1 输入状态 $\mathbf{s}^{(0)} = \{\mathbf{v}^{(0)}, \mathbf{x}^{(0)}\}$

2

$$\begin{cases} \mathbf{f}_i^{(0)} = \text{Force}(\mathbf{x}_i^{(0)}, \mathbf{v}_i^{(0)}, \dots), \\ \mathbf{f}^{(0)} = (\mathbf{f}_1^{(0)}, \dots, \mathbf{f}_n^{(0)})^T, \\ \mathbf{v}^{(1)} = \mathbf{v}^{(0)} + \Delta t M^{-1} \mathbf{f}^{(0)}, \\ \mathbf{x}^{(1)} = \mathbf{x}^{(0)} + \Delta t \mathbf{v}^{(1)} \end{cases} \quad (3)$$

3 输出状态 $\mathbf{s}^{(1)} = \{\mathbf{v}^{(1)}, \mathbf{x}^{(1)}\}$

注意：

- 各顶点质量 $M = (m_1, \dots, m_n)^T$ 为常向量，表记 $M^{-1} = (1/m_1, \dots, 1/m_n) \in \mathbb{R}^{1 \times n}$
- 时间间隔 Δt 可自定义，不一定是常量，也不一定与实际物理帧计算的时间间隔相同

目录

1 动画与物理仿真

2 刚体动力学

- 预备知识
- 平动动力学
- 转动动力学

3 刚体动画

4 质点碰撞处理

5 刚体碰撞检测与处理

旋转的表达 - 旋转矩阵与欧拉角

在讨论三维旋转时，我们只讨论绕某个过原点的旋转轴旋转。若旋转轴不过原点，需要先进行平移变换。

旋转矩阵：

- 三维空间中的旋转可用一个自由度为 3 的 3×3 矩阵 R 表示
- 对空间向量 $v \in \mathbb{R}^3$ ，矩阵-向量乘积 Rv 可表示对该向量施加旋转变换
- 缺点：不够直观；自由度低，浪费空间；难以计算旋转相关的速度

欧拉角：

- 三维空间中的旋转亦可用直观的三元组——欧拉角（euler angle）表示
- 给定空间中三个固定正交轴（局部的或全局的），欧拉角是按固定顺序分别绕这些轴的旋转角度的记录。不同的欧拉角三元组，最终可能产生相同的旋转结果
- 缺点：可能丢失自由度（万向节死锁）；难以计算旋转相关的速度

旋转的表达 - 四元数

四元数 $\mathbf{q} = a + bi + cj + dk \in \mathbb{H} \leftrightarrow \mathbb{R}^4$ 是对复数域 $\mathbb{C} \leftrightarrow \mathbb{R}^2$ 的扩展，遵从运算法则

$$i^2 = j^2 = k^2 = ijk = -1, \quad (4)$$

我们可以表记四元数 $\mathbf{q} = [s, \mathbf{v}]$ ，其中 s 为 \mathbf{q} 的标量部分， \mathbf{v} 为向量部分。可以推导四元数的标量积、加法和乘法运算：

$$\begin{cases} a\mathbf{q} = [as, a\mathbf{v}], \\ \mathbf{q}_1 + \mathbf{q}_2 = [s_1 + s_2, \mathbf{v}_1 + \mathbf{v}_2], \\ \mathbf{q}_1 \times \mathbf{q}_2 = \mathbf{q}_1 \mathbf{q}_2 = [s_1 s_2 - \mathbf{v}_1 \cdot \mathbf{v}_2, s_1 \mathbf{v}_2 + s_2 \mathbf{v}_1 + \mathbf{v}_1 \times \mathbf{v}_2]. \end{cases} \quad (5)$$

特别地，我们可以让三维向量 \mathbf{v} 也参与上述计算，只需视其为四元数 $[0, \mathbf{v}]$ 即可。

旋转的表达 - 四元数运算

正如一个归一化的复数可以表示二维旋转一样，一个归一化的四元数也可以表示一个三维旋转，它满足

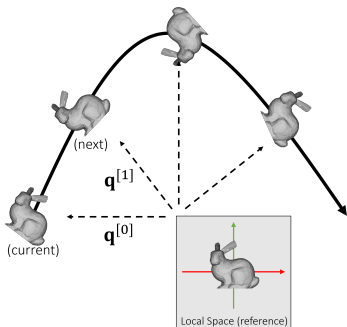
$$\|\mathbf{q}\| = \sqrt{s^2 + \mathbf{v} \cdot \mathbf{v}} = 1. \quad (6)$$

具体地，我们让向量 \mathbf{v} 绕某个过原点的空间轴 \mathbf{u} 旋转 θ 角度，旋转方向使用右手螺旋判断。记

$$\begin{cases} \mathbf{q} = \left[\cos \frac{\theta}{2}, \mathbf{u} \right], \\ \|\mathbf{q}\| = 1, \end{cases} \quad (7)$$

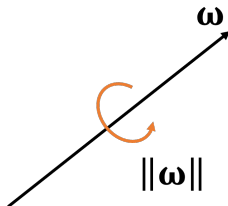
那么，可以证明， \mathbf{qvq}^* 就是空间向量 \mathbf{v} 如上旋转后的结果的四元数表示，即 \mathbf{qvq}^* 的标量部分总是为 0；其中 $\mathbf{q}^* = \left[\cos \frac{\theta}{2}, -\mathbf{u} \right]$ 为 \mathbf{q} 的共轭四元数。归一化的四元数可以与三维旋转形成一一对应。四元数也可以方便地转换为矩阵和欧拉角，因此成为了物理引擎内部旋转运算的常用数据类型。

转动动力学



记 q 为表示刚体旋转的四元数， R 表示该旋转的变换矩阵， $\omega \in \mathbb{R}^3$ 为旋转的角速度，规定：

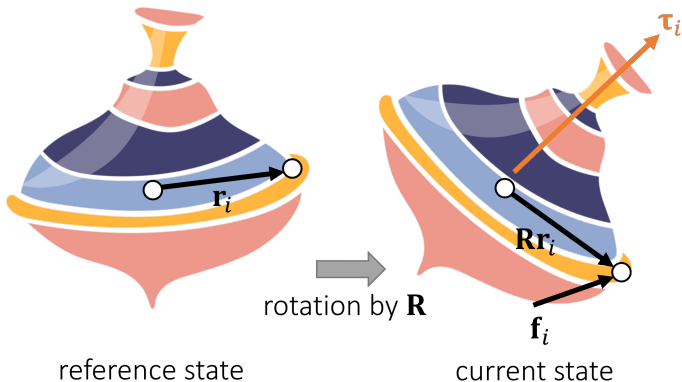
- ω 的方向为旋转轴（与旋转方向形成右手螺旋关系），
- ω 的大小为旋转的角速率。



力矩

转动动力学中的力矩 (torque) 是平动动力学中的力 (force) 的等效, 定义式为

$$\boldsymbol{\tau}_i = (\mathbf{R}\mathbf{r}_i) \times \mathbf{f}_i. \quad (8)$$



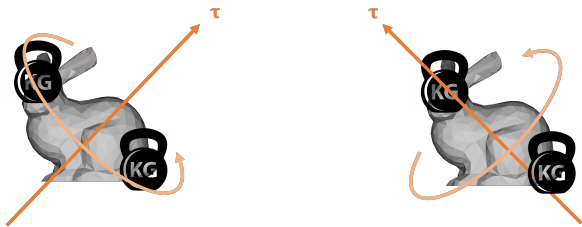
转动惯量

转动动力学中的转动惯量 (inertia) 是平动动力学中的质量 (mass) 的等效, 是一个 3×3 矩阵。在初始状态下, 转动惯量为一常量, 定义式为

$$I_{\text{ref}} = \sum m_i (\mathbf{r}_i^T \mathbf{r}_i \mathbf{1} - \mathbf{r}_i \mathbf{r}_i^T). \quad (9)$$

在刚体经过旋转变换 R 后, 可以证明, 此时转动惯量为

$$I = R I_{\text{ref}} R^T. \quad (10)$$



请注意: 一个三维空间中的物体存在无数个可能的转动轴, 每个转动轴都对应着一个描述其转动惯性大小的标量 I 。但这些量并非完全相互独立, 它们可以被整理成一个 3×3 的矩阵 I_{ref} 。

刚体仿真-仅转动

1 输入状态 $\mathbf{s}^{(0)} = \{\mathbf{q}^{(0)}, \boldsymbol{\omega}^{(0)}\}$

2 更新中间物理状态

$$\begin{cases} \mathbf{R}^{(0)} = \text{Matrix.Rotate}(\mathbf{q}^{(0)}), \\ \boldsymbol{\tau}_i^{(0)} = (\mathbf{R}^{(0)} \mathbf{r}_i) \times \mathbf{f}_i^{(0)}, \\ \boldsymbol{\tau}^{(0)} = \sum \boldsymbol{\tau}_i^{(0)}, \\ \mathbf{I}^{(0)} = \mathbf{R}^{(0)} \mathbf{I}_{\text{ref}} (\mathbf{R}^{(0)})^T, \end{cases} \quad (11)$$

3 更新刚体仿真状态

$$\begin{cases} \boldsymbol{\omega}^{(1)} = \boldsymbol{\omega}^{(0)} + \Delta t (\mathbf{I}^{(0)})^{-1} \boldsymbol{\tau}^{(0)}, \\ \mathbf{q}^{(1)} = \mathbf{q}^{(0)} + \left[0, \frac{\Delta t}{2} \boldsymbol{\omega}^{(1)} \right] \times \mathbf{q}^{(0)} \end{cases} \quad (12)$$

4 输出状态 $\mathbf{s}^{(1)} = \{\mathbf{q}^{(1)}, \boldsymbol{\omega}^{(1)}\}$

目录

1 动画与物理仿真

2 刚体动力学

3 刚体动画

■ 一般刚体仿真

■ Shape Matching 刚体仿真

4 质点碰撞处理

5 刚体碰撞检测与处理

刚体仿真流水线 I

- 1 输入状态 $\mathbf{s}^{(0)} = \{\mathbf{v}^{(0)}, \mathbf{x}^{(0)}, \boldsymbol{\omega}^{(0)}, \mathbf{q}^{(0)}\}$
- 2 更新中间物理状态

$$\left\{ \begin{array}{l} \mathbf{f}_i^{(0)} = \text{Force}(\mathbf{x}_i^{(0)}, \mathbf{v}_i^{(0)}, \dots), \\ \mathbf{f}^{(0)} = (\mathbf{f}_1^{(0)}, \dots, \mathbf{f}_n^{(0)})^T, \\ \mathbf{R}^{(0)} = \text{Matrix.Rotate}(\mathbf{q}^{(0)}), \\ \boldsymbol{\tau}_i^{(0)} = (\mathbf{R}^{(0)} \mathbf{r}_i) \times \mathbf{f}_i^{(0)}, \\ \boldsymbol{\tau}^{(0)} = \sum \boldsymbol{\tau}_i^{(0)}, \\ \mathbf{I}^{(0)} = \mathbf{R}^{(0)} \mathbf{I}_{\text{ref}} (\mathbf{R}^{(0)})^T, \end{array} \right. \quad (13)$$

刚体仿真流水线 II

3 更新刚体仿真状态

$$\begin{cases} \mathbf{v}^{(1)} = \mathbf{v}^{(0)} + \Delta t M^{-1} \mathbf{f}^{(0)}, \\ \mathbf{x}^{(1)} = \mathbf{x}^{(0)} + \Delta t \mathbf{v}^{(1)} \\ \boldsymbol{\omega}^{(1)} = \boldsymbol{\omega}^{(0)} + \Delta t (\mathbf{I}^{(0)})^{-1} \boldsymbol{\tau}^{(0)}, \\ \mathbf{q}^{(1)} = \mathbf{q}^{(0)} + \left[0, \frac{\Delta t}{2} \boldsymbol{\omega}^{(1)} \right] \times \mathbf{q}^{(0)} \end{cases} \quad (14)$$

4 输出状态 $\mathbf{s}^{(1)} = \{\mathbf{v}^{(1)}, \mathbf{x}^{(1)}, \boldsymbol{\omega}^{(1)}, \mathbf{q}^{(1)}\}$



目录

1 动画与物理仿真

2 刚体动力学

3 刚体动画

■ 一般刚体仿真

■ Shape Matching 刚体仿真

4 质点碰撞处理

5 刚体碰撞检测与处理



预备知识：奇异值分解与极分解

- 奇异值分解：任何变换均可被依次分解成三个部分：（可能带翻转的）旋转、缩放和（可能带翻转的）旋转。即

$$A = UDV^T, \quad (15)$$

其中 A 为任意方阵， U 和 V^T 为正交矩阵， D 为对角矩阵

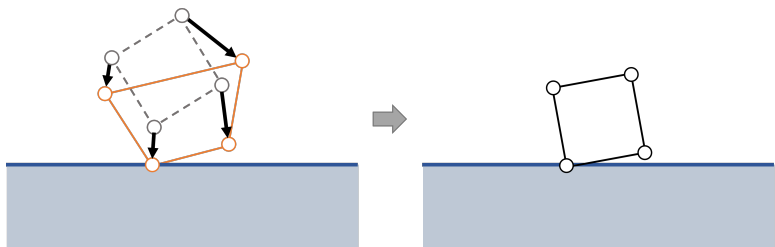
- 极分解：任何变换均可被依次分解成两个部分：（可能带翻转的）旋转和其他变形。即

$$A = UDV^T = (UV^T)(VDV^T) = RS, \quad (16)$$

其中 R 为正交矩阵， S 为半正定对称矩阵

Shape Matching

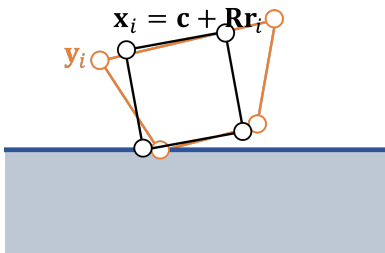
- 基本思想：先对每个顶点做自由模拟，然后再把这些顶点用某种方法变回刚体
- 变回刚体：让各顶点的位置满足刚体的位置约束，并且最小化各顶点在该过程中的移动距离。旋转变换通过极分解（polar decomposition）得到
- Shape Matching 思想与可变形体（弹性体）的仿真方案一脉相承，因此适合在弹性体上实现刚体，如衣服中的纽扣等挂件
- 由于欠缺物理正确性，Shape Matching 不适合处理带摩擦的碰撞情形



Shape Matching - 公式推导

- 记仿真得到的刚体的预期质心为 \mathbf{c} ，顶点 i 的位置为 \mathbf{r}_i ，依质心性质有 $\sum_i \mathbf{r}_i = \mathbf{0}$
- 设 \mathbf{y}_i 为自由仿真后的顶点位置， \mathbf{x}_i 为满足刚体约束的顶点位置，则有 $\mathbf{x}_i = \mathbf{c} + \mathbf{R}\mathbf{r}_i$ ，其中 \mathbf{R} 为某旋转矩阵
- 优化目标为

$$\{\mathbf{c}, \mathbf{R}\} = \operatorname{argmin} \sum_i \|\mathbf{c} + \mathbf{R}\mathbf{r}_i - \mathbf{y}_i\|^2 \quad (17)$$





Shape Matching - 公式推导

$$\{\mathbf{c}, \mathbf{R}\} = \operatorname{argmin} \sum_i \|\mathbf{c} + \mathbf{R}\mathbf{r}_i - \mathbf{y}_i\|^2$$

考虑 \mathbf{A} 为任意矩阵，其中的旋转分量为 \mathbf{R} ，那么我们可以优化

$$\{\mathbf{c}, \mathbf{A}\} = \operatorname{argmin} \sum_i \|\mathbf{c} + \mathbf{A}\mathbf{r}_i - \mathbf{y}_i\|^2 \quad (18)$$

求导求极值

$$\frac{\partial E}{\partial \mathbf{c}} = 0 \Leftrightarrow \sum_i \mathbf{c} + \mathbf{A}\mathbf{r}_i - \mathbf{y}_i = 0 \quad (19)$$

得到

$$\mathbf{c} = \frac{1}{n} \sum_i \mathbf{y}_i \quad (20)$$

即变回刚体前后的刚体质心位置不变。



Shape Matching - 公式推导

$$\{\mathbf{c}, \mathbf{R}\} = \operatorname{argmin} \sum_i \|\mathbf{c} + \mathbf{R}\mathbf{r}_i - \mathbf{y}_i\|^2$$

另一方面

$$\frac{\partial E}{\partial \mathbf{A}} = 0 \Leftrightarrow \sum_i (\mathbf{c} + \mathbf{A}\mathbf{r}_i - \mathbf{y}_i)\mathbf{r}_i^T = 0 \quad (21)$$

得到

$$\mathbf{A} = \left(\sum_i (\mathbf{y}_i - \mathbf{c})\mathbf{r}_i^T \right) \left(\sum_i \mathbf{r}_i\mathbf{r}_i^T \right)^{-1} \quad (22)$$

最后，我们将 \mathbf{A} 做极分解

$$\mathbf{A} = \mathbf{R}\mathbf{S} \quad (23)$$

使用其中的旋转部分 \mathbf{R} 即可。



Shape Matching 流水线 I

在 Shape Matching 刚体仿真流程中，不再以统一的 \mathbb{R}^3 向量更新刚体的位置、速度等仿真状态，而是单独仿真每个顶点；也不再考虑转动动力学。即此时 $\mathbf{x} = (\mathbf{x}_1, \dots, \mathbf{x}_n)^T$, $\mathbf{v} = (\mathbf{v}_1 \dots, \mathbf{v}_n)^T$ 。

1 输入状态 $\mathbf{s}^{(0)} = \{\mathbf{x}^{(0)}, \mathbf{v}^{(0)}\}$

2 对每个顶点单独仿真

$$\begin{cases} \mathbf{f}_i = \text{Force}(\mathbf{x}_i^{(0)}, \mathbf{v}_i^{(0)}, \dots), \\ \mathbf{v}_i = \mathbf{v}_i^{(0)} + \Delta t m_i^{-1} \mathbf{f}_i, \\ \mathbf{y}_i = \mathbf{x}_i^{(0)} + \Delta t \mathbf{v}_i, \end{cases} \quad (24)$$

Shape Matching 流水线 II

3 计算刚体位置约束

$$\begin{cases} \mathbf{c} = \frac{1}{n} \sum_i \mathbf{y}_i, \\ \mathbf{A} = \left(\sum_i (\mathbf{y}_i - \mathbf{c}) \mathbf{r}_i^T \right) \left(\sum_i \mathbf{r}_i \mathbf{r}_i^T \right)^{-1}, \\ \mathbf{R} = \text{Polar}(\mathbf{A}), \end{cases} \quad (25)$$

4 更新各顶点仿真状态

$$\begin{cases} \mathbf{x}_i^{(1)} = \mathbf{c} + \mathbf{R} \mathbf{r}_i, \\ \mathbf{v}_i^{(1)} = (\mathbf{x}_i^{(1)} - \mathbf{x}_i^{(0)}) / \Delta t, \end{cases} \quad (26)$$

5 输出状态 $\mathbf{s}^{(1)} = \{\mathbf{x}^{(1)}, \mathbf{v}^{(1)}\}$

目录

1 动画与物理仿真

2 刚体动力学

3 刚体动画

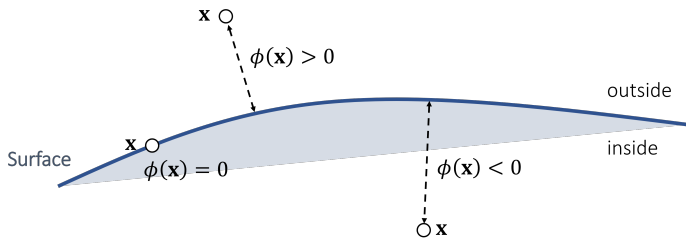
4 质点碰撞处理

- 预备知识
- 罚函数法
- 冲量法

5 刚体碰撞检测与处理

有向距离场

有向距离场 (signed distance field, SDF) $\phi(\mathbf{x}) : \mathbb{R}^3 \rightarrow \mathbb{R}$ 针对空间中的位置输出其到某个物体表面的最短距离。若该位置在物体内部，则输出距离为负，否则距离为正。



11

$\phi(\mathbf{x})$ 的梯度 $\nabla\phi(\mathbf{x})$ 的方向给出了最快朝外远离物体表面的方向，可以类比法线方向理解。

目录

1 动画与物理仿真

2 刚体动力学

3 刚体动画

4 质点碰撞处理

- 预备知识
- 罚函数法
- 冲量法

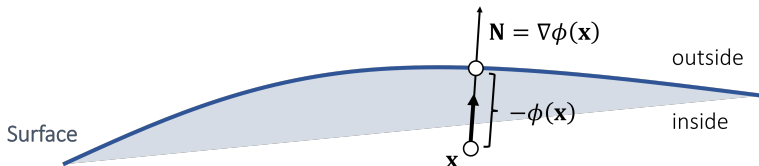
5 刚体碰撞检测与处理

朴素线性罚函数

- 质点碰撞检测的一般方法：检测其位置 \mathbf{x} 是否满足 $\phi(\mathbf{x}) \geq 0$ ，若否，则意味着该质点位于物体内部，需进行碰撞处理
- 质点碰撞处理的一般方法：将其沿 $\nabla\phi(\mathbf{x})$ 的方向，移动到物体外
- 罚函数法 (penalty method) 是一类简单的碰撞处理方法，但在宏观物理上不一定正确。它的一般思路是在质点位于物体内部，或接近物体时，给其一个推力，使其远离物体。推力的方向 \mathbf{N} 一般是归一化的 $\nabla\phi(\mathbf{x})$
- 朴素的罚函数法使用一个正比于 $\phi(\mathbf{x})$ 的惩罚推力

$$\mathbf{f} = -k\phi(\mathbf{x})\mathbf{N} \quad (27)$$

- 该方法只有顶点位于碰撞体内部时才能将其推开，存在穿透瑕疵

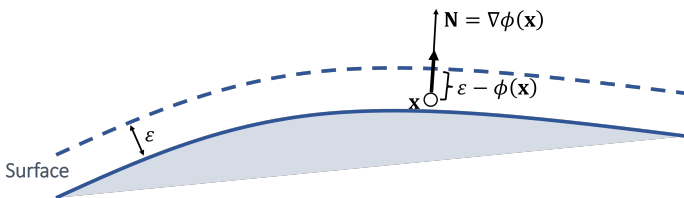


有缓冲区的线性罚函数

- 加入一个宽度为 ε 的缓冲区，可一定程度上缓解穿透问题。此时若检测到 $\phi(\mathbf{x}) < \varepsilon$ ，就要启动碰撞处理，施加惩罚推力

$$\mathbf{f} = -k(\phi(\mathbf{x}) - \varepsilon)\mathbf{N} \quad (28)$$

- 此方法可以让质点在穿透之前就有远离物体的倾向，且计算简单。但若质点速率很高，直接穿进了碰撞体，将导致推力过大，产生视觉不正确的“飞天”现象。

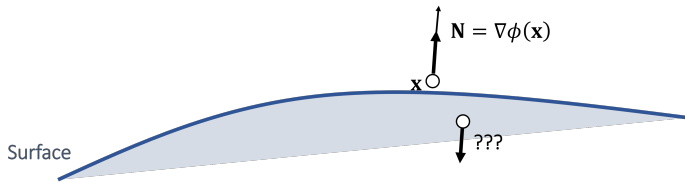


使用 log-barrier 的罚函数

- 同样地，考虑在一定距离上就施加惩罚推力，可以设计使用 log-barrier 的罚函数

$$\mathbf{f} = \rho \frac{1}{\phi(\mathbf{x})} \mathbf{N} \quad (29)$$

- 问题仍然存在：穿透后，将产生错误的推力方向



17

总结：

- 如今的物理引擎一般都实装一套简单的罚函数法，罚函数一般为有缓冲区的线性罚函数或 log-barrier 罚函数。它们实现简单，但都可能存在穿透瑕疵和推力可能过大的问题
- 罚函数法不适合处理摩擦碰撞的情况

目录

1 动画与物理仿真

2 刚体动力学

3 刚体动画

4 质点碰撞处理

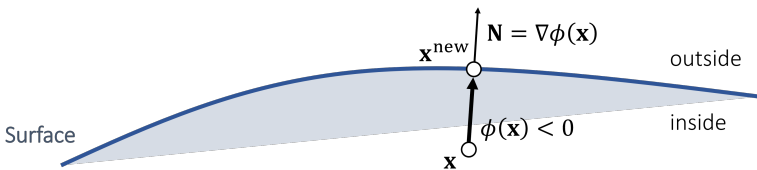
- 预备知识
- 罚函数法
- 冲量法

5 刚体碰撞检测与处理

冲量法

- 冲量法 (impulse method) 是一类假设质点的碰撞将导致位置和速度的突变的碰撞处理方法，它基于库仑摩擦定律，在宏观物理上表现得更正确。它的一般思路是在质点位于物体内部时，将质点的位置直接移动到最近的物体表面，并改变其速度方向使其不要再接近物体
- 对碰撞位置 \mathbf{x} ，新的位置 \mathbf{x}^{new} 的更新方法是

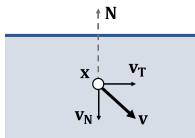
$$\mathbf{x}^{\text{new}} = \mathbf{x} - \nabla\phi(\mathbf{x})\phi(\mathbf{x}) \quad (30)$$



冲量法 - 速度更新 I

- 仅仅更新位置是不够的，为了避免接下来仍然发生穿透，我们还需要更新质点的速度
- 对碰撞时的速度 \mathbf{v} 正交分解得到

$$\begin{cases} \mathbf{v}_N = (\mathbf{v} \cdot \mathbf{N})\mathbf{N}, \\ \mathbf{v}_T = \mathbf{v} - \mathbf{v}_N \end{cases} \quad (31)$$



- 考虑库仑摩擦，分别修改法向速度和切向速度

$$\begin{cases} \mathbf{v}_N^{\text{new}} = -\mu_N \mathbf{v}_N, \\ \mathbf{v}_T^{\text{new}} = a \mathbf{v}_T \end{cases} \quad (32)$$

冲量法 - 速度更新 II

■ 最后合成得到

$$\mathbf{v}^{\text{new}} = \mathbf{v}_N^{\text{new}} + \mathbf{v}_T^{\text{new}} \quad (33)$$

其中 μ_N, μ_T 是摩擦因数，参数 a 应当满足质点摩擦的库仑定律：

$$a = \max \left(1 - \mu_T(1 + \mu_N) \frac{\|\mathbf{v}_N\|}{\|\mathbf{v}_T\|}, 0 \right) \quad (34)$$

前项是动摩擦的结果，后项是静摩擦的结果。

目录

1 动画与物理仿真

2 刚体动力学

3 刚体动画

4 质点碰撞处理

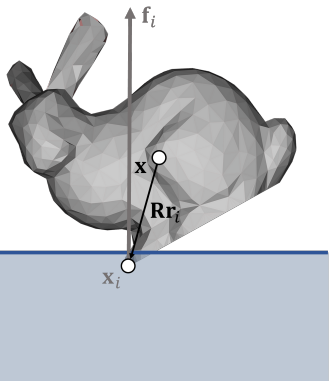
5 刚体碰撞检测与处理

- 刚体碰撞检测

- 冲量法的碰撞处理

- Shape Matching 的碰撞处理

刚体碰撞检测与惩罚法的碰撞处理



- 朴素的刚体碰撞检测方法：对刚体的所有顶点 i ，逐一检测 $\phi(\mathbf{x}_i)$ 是否为负值
- 聪明一点的碰撞检测方法：对碰撞不频繁的刚体，预先建立 BVH，进行 $O(\log n)$ 级别的检测
- 惩罚法的碰撞处理：对产生碰撞的顶点 i ，累加相应的惩罚力 \mathbf{f}_i

目录

1 动画与物理仿真

2 刚体动力学

3 刚体动画

4 质点碰撞处理

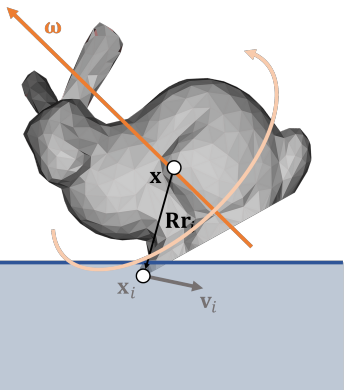
5 刚体碰撞检测与处理

- 刚体碰撞检测

- 冲量法的碰撞处理

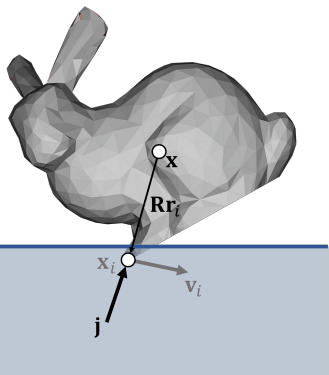
- Shape Matching 的碰撞处理

冲量法的碰撞处理



- 使用冲量法进行刚体碰撞处理时，我们需要修改碰撞顶点的状态包括位置 x_i 、速度 v_i 和角速度 ω_i 。但刚体为一整体，单独修改顶点的状态是不可行的
- 为此，我们需要从局部状态的修改，推导出整体状态的修改，思路类似逆向运动学 (IK)

冲量法的碰撞处理-从局部到整体



- 简单起见，我们先只讨论碰撞点为单个顶点的情况
- 初始时， $v_i = v + \omega \times Rr_i$
- 顶点 i 被施加冲量 $j_i = f_i \Delta t$ 后，有

$$\begin{cases} v^{\text{new}} = v + M^{-1}j_i, \\ \omega^{\text{new}} = \omega + I^{-1}(Rr_i \times j_i) \end{cases} \quad (35)$$

- 此时， v_i^{new} 与整体 $v^{\text{new}}, \omega^{\text{new}}$ 的关系为

$$v_i^{\text{new}} = v^{\text{new}} + \omega^{\text{new}} \times Rr_i \quad (36)$$

冲量法的碰撞处理 - 推导 I

代入计算得到

$$\begin{aligned}
 \mathbf{v}_i^{\text{new}} &= \mathbf{v}^{\text{new}} + \boldsymbol{\omega}^{\text{new}} \times \mathbf{R}\mathbf{r}_i \\
 &= \mathbf{v} + M^{-1}\mathbf{j}_i + (\boldsymbol{\omega} + \mathbf{I}^{-1}(\mathbf{R}\mathbf{r}_i \times \mathbf{j}_i)) \times \mathbf{R}\mathbf{r}_i \\
 &= \mathbf{v}_i + M^{-1}\mathbf{j}_i + (\mathbf{I}^{-1}(\mathbf{R}\mathbf{r}_i \times \mathbf{j}_i)) \times \mathbf{R}\mathbf{r}_i \\
 &= \mathbf{v}_i + M^{-1}\mathbf{j}_i - \mathbf{F}_i\mathbf{j}_i
 \end{aligned} \tag{37}$$

其中 \mathbf{F}_i 是一个与 $\mathbf{R}, \mathbf{r}_i, \mathbf{I}$ 有关的线性算子。于是

$$\mathbf{j}_i = \mathbf{K}_i^{-1}(\mathbf{v}_i^{\text{new}} - \mathbf{v}_i) \tag{38}$$

其中

$$\mathbf{K}_i = M^{-1}\mathbf{1} - \mathbf{F}_i. \tag{39}$$

冲量法的碰撞处理 - 流水线 I

冲量法碰撞处理的一般步骤：

- 1 输入状态 $\mathbf{s} = \{\mathbf{c}, \mathbf{v}, \boldsymbol{\omega}\}$
- 2 使用 SDF 检测碰撞，记碰撞点集合为 U 。若 U 为空集，则无需碰撞处理
- 3 否则，计算每个碰撞点更新后的位置和速度

$$\left\{ \begin{array}{l} \mathbf{v}_i = \mathbf{v} + \boldsymbol{\omega} \times \mathbf{R}\mathbf{r}_i, \\ \mathbf{v}_{N,i} = (\mathbf{v}_i \cdot \mathbf{N})\mathbf{N}, \\ \mathbf{v}_{T,i} = \mathbf{v}_i - \mathbf{v}_{N,i}, \\ a = \max \left(1 - \mu_T(1 + \mu_N) \frac{\|\mathbf{v}_{N,i}\|}{\|\mathbf{v}_{T,i}\|}, 0 \right), \\ \mathbf{v}_{N,i}^{\text{new}} = -\mu_N \mathbf{v}_{N,i}, \\ \mathbf{v}_{T,i}^{\text{new}} = a \mathbf{v}_{T,i}, \\ \mathbf{v}_i^{\text{new}} = \mathbf{v}_{N,i}^{\text{new}} + \mathbf{v}_{T,i}^{\text{new}} \end{array} \right. \quad (40)$$

冲量法的碰撞处理 - 流水线 II

- 4 对每个碰撞点，计算使得其速度发生如上变化的冲量 \mathbf{j}_i

$$\begin{cases} \mathbf{K}_i = M^{-1}\mathbf{1} - \mathbf{F}_i, \\ \mathbf{j}_i = \mathbf{K}_i^{-1}(\mathbf{v}_i^{\text{new}} - \mathbf{v}_i), \end{cases} \quad (41)$$

- 5 若有多个碰撞点，求该冲量的平均值；取陷入物体最深的那个碰撞点，作为位移的参考

$$\begin{cases} \mathbf{j} = \frac{\sum \mathbf{j}_i}{|U|}, \\ \mathbf{x} = \min_U(\mathbf{x}_i) \end{cases} \quad (42)$$

- 6 最后，利用该冲量更新刚体整体的速度和角速度，并更新位置以移除碰撞点

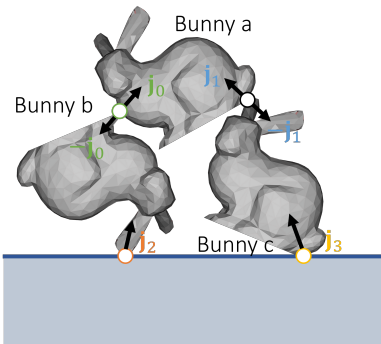
$$\begin{cases} \mathbf{c}^{\text{new}} = \mathbf{c} + \mathbf{R}(\mathbf{x} - \nabla\phi(\mathbf{x})\phi(\mathbf{x})), \\ \mathbf{v}^{\text{new}} = \mathbf{v} + M^{-1}\mathbf{j}, \\ \boldsymbol{\omega}^{\text{new}} = \boldsymbol{\omega} + \mathbf{I}^{-1}(\mathbf{R}\mathbf{r}_i \times \mathbf{j}) \end{cases} \quad (43)$$

冲量法的碰撞处理 - 流水线 III

7 输出状态 $s^{\text{new}} = \{c^{\text{new}}, v^{\text{new}}, \omega^{\text{new}}\}$

并行碰撞处理

当多点同时接触时，并行碰撞处理问题，会变成维度更高的线性系统。实际处理时，常进行简单的串行处理。



目录

1 动画与物理仿真

2 刚体动力学

3 刚体动画

4 质点碰撞处理

5 刚体碰撞检测与处理

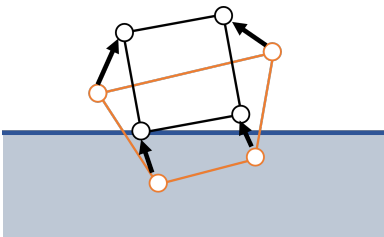
- 刚体碰撞检测

- 冲量法的碰撞处理

- Shape Matching 的碰撞处理

Shape Matching 的碰撞处理

- Shape Matching 仿真流程中，只需对每个顶点单独进行碰撞处理即可。这一处理方式与可变形体相同
- 若使用冲量法进行碰撞处理，则为了保证无穿透，需要在刚体约束之前、约束之后均再执行一遍碰撞检测和处理



Thanks for your watching!